

## کاربرد تکنیک‌های چندمتغیره در منطقه‌بندی عمق نوری آئروسل (AOD) بر روی ایران

کاووه محمدپور<sup>۱</sup>؛ دکتری اقلیم‌شناسی، گروه جغرافیای طبیعی، دانشکده علوم جغرافیایی، دانشگاه خوارزمی، تهران، ایران.

دریافت مقاله: ۱۳۹۹/۰۷/۰۳  
پذیرش نهایی: ۱۴۰۰/۰۵/۱۰

### چکیده

در مطالعه حاضر با استفاده از داده‌های روزانه ماهواره‌ای شبیه‌سازی شده از عمق نوری آئروسل (AOD) در ۵۵۰ نانومتر بر روی گستره ایران سعی شد تا مناطق همگن آئروسل بر روی ایران با استفاده از تکنیک‌های چند متغیره مدلسازی و آشکار گردد. تکنیک‌های بُرداری با کاهش حجم متغیرها به بُردارهای ویژه و صدک ۸۵، شش الگوی مجزای مکانی را منطقه‌بندی و تفکیک کرد که از پهنه‌های عمدۀ تحت تاثیر آئروسل بر روی پهنه ایران هستند. جزئیات پراکنش رخدادهای حدی بر پایه صدک ۹۵ بی‌هنگاری روزانه سیگنال‌ها نشان داد که انتشار و دوری و نزدیکی مناطق منبع آئروسل از مناطق شتاسایی شده‌ی روی ایران موجب شکل‌گیری الگوهای غالب مکانی آئروسل در گوش و کنار کشور شده است. زیرا، رشد و گسترش فرین‌های آئروسل و انتشار آنها از مناطق منبع آئروسل در سطح خاورمیانه و آسیای مرکزی نمایان کرد که تفکیک جغرافیایی آئروسل به ساختارهای فضایی-مکانی ساده و همگن با شباهت‌های درون گروهی زیاد در حین تفاوت آشکار بر own گروهی تایید می‌کند که هر کدام از مناطق همگن ایران تحت تاثیر جریان و پراکنش مکانی فرین‌های منطقه‌ای متفاوتی تشکیل شده است. بنابراین، تلفیق معیارهای ماهواره‌ای با نکنیک‌های کاربردی بُرداری در علوم جوی-دینامیکی، نه تنها خلاء داده‌های مشاهداتی سطحی را پر کرده است، بلکه رویکردی به مراتب جغرافیایی‌تر از مخاطرات محیطی را در فالب شکلی ساده‌تر نشان داده و آن اشکال همگن تفکیک شده‌ی جغرافیایی را قابل تفسیرتر کرده است.

واژه‌های کلیدی: عمق نوری آئروسل (AOD)، تکنیک‌های چند متغیره، منطقه‌بندی، ایران

<sup>۱</sup>. نویسنده مسئول:

## مقدمه

آئروسل دارای سیستم چند فازی مرکب از ذرات جامد، مایع و گاز حامل ذرات معلق در اتمسفر است که بیلان تابش و انرژی سامانه جو-زمین را تحت تاثیر خود قرار می‌دهد (Mahowald et al., ۲۰۰۹; Liu et al., ۲۰۱۳). آنها بازیگران مهمی در سامانه اقلیمی هستند که منجر به گرمایش جوی، سرمایش سطح زمین و واکنش‌های دینامیکی اتمسفر می‌شوند (IPCC, ۲۰۱۴). آئروسل‌ها، ذرات ریز معلق در هوای (شامل: گردوغباری معدنی بیابانی، نمک دریاها، خاکسترها و آتش‌فشانی، سولفات، نیترات و دود ناشی از سوزاندن سوخت‌های فسیلی و زیست بومها) هستند که انتقال انرژی تابشی را به صورت مستقیم (جذب و پخش تابش) (Islam and Almazroui, ۲۰۱۲; Das et al., ۲۰۱۵) و غیرمستقیم (ویژگی‌های میکروفیزیک، تشکیل هسته تراکم و نور) (Bangert et al., ۲۰۱۲) تحت تاثیر قرار می‌دهند. بدین صورت که بر روی تغییر دمای هوای، شکل‌گیری ابر، همرفت و میزان بارش اثر می‌گذارند (Lohmann and Feichter, ۲۰۰۵; Wong and Dessler, ۲۰۰۹; Wong et al., ۲۰۰۶) یا به عنوان هسته‌های تراکم، شکل‌گیری و عمر ابر و سپس بارش را دچار تحول می‌کنند (Figueras i Ventura and Russchenberg, ۲۰۰۹; Sarna and Russchenberg, ۲۰۱۷). پس، آئروسل‌ها با توجه به نقش مهمی که در گردش عمومی جوی و سپس اقلیم یک منطقه با تاثیرگذاری بر روی ذخیره تابشی کره زمین بر جای می‌گذارند، دارای اهمیت قابل ملاحظه‌ای در مطالعات جهانی و منطقه‌ای هستند (Lohmann and Feichter, ۲۰۰۵; IPCC, ۲۰۱۳).

در دو دهه اخیر، معیارهای سنجش از دور به عنوان مهم‌ترین ابزار در جهت پایش آئروسل محسوب می‌گردند. به همین منظور داده‌های ماهواره‌ای امکانات مناسبی را برای مطالعه و پردازش فضایی پدیده‌های دینامیکی همچون آئروسل‌ها را ارائه می‌دهند. روش‌های متعددی برای بررسی آئروسل‌ها وجود دارد که از جمله مهم‌ترین آنها می‌توان به آستانه شاخص آئروسل (AOD) (Prospero et al., ۲۰۰۲; Awad and Mashat, ۲۰۱۴; Nabavi et al., ۲۰۱۶) (UVAI) (Zoljoodi et al., ۲۰۱۳; Alizadeh-Chooobari et al., ۲۰۱۴; Rashki et al., ۲۰۱۵; Nabavi et al., ۲۰۱۵; Kaskaoutis et al., ۲۰۱۸) برای نمونه، بررسی تغییرات مکانی و روندهای آئروسل‌ها در خاورمیانه با استفاده از شاخص آئروسل (Habib et al., ۲۰۱۶) و عمق نوری آئروسل (AOD) (Klingmüller et al., ۲۰۱۶) بوده است. بعلاوه، حبیب و همکاران (۲۰۰۶) با استفاده از شاخص آئروسل سنجنده TOMS نشان دادند که بخش‌های مرکزی و جنوب پاکستان دارای بار بالایی از آئروسل بوده است که عمدتاً با چرخه فصلی گردوغبار و آتش سوزی زیست توده‌ها ارتباط داشت. در مطالعه‌ای مشابه بر روی غرب و جنوب غرب ایران (Nabavi et al., ۲۰۱۶)، آستانه تغییر در تفاوت‌های بین شاخص آئروسل و OMI و TOMS با استفاده از شاخص آئروسل سنجنده MODIS نشان داد که تغییرات بلند مدت توزیع افقی طوفان‌های عمدۀ آئروسل و به ویژه عمق نوری گردوغبار سنجنده MODIS نشان داد که تغییرات بین مدت توزیع افقی طوفان‌های عمدۀ آئروسل و به ویژه گردوغبار متاثر از دو منبع بیابانی عراق-سوریه و عربستان بوده است که منطقه شمال‌غرب ایران تا دریای خزر را تحت تاثیر طوفان قرار داده است. همچنین، کاسکائوتلووس و همکاران (Kaskaoutis et al., ۲۰۱۴a) با استفاده از AOD سنجنده MODIS رخدادهای آئروسل را بر روی دشت هندو - گانجتیک شناسایی و طبقه‌بندی کردند که مبنای مطالعه بعدی

(Kaskaoutis et al., ۲۰۱۴b) در تشخیص روزهای حدی آئروسل بر روی کانپور هند بوده است. گیتانی و پاسکوی (Gaetani and Pasqui, ۲۰۱۲) با استفاده از عمق نوری آئروسل سنجنده MODIS و مدل<sup>۱</sup> GOCART و کالاسترینی و همکاران (Calastrini et al., ۲۰۱۲) نیز بر اساس مشاهدات زمینی ذرات معلق (PM) به بررسی پراکنش آئروسل پرداخته‌اند. گوپتا و همکاران (Gupta et al., ۲۰۱۳) هم با استفاده از عمق نوری آئروسل سنجنده MODIS به بررسی روندهای زمانی و مکانی آئروسل‌ها در دو کلانشهر پاکستان (کراچی و لاہور) پرداخته‌اند. بررسی بازخورهای هواشناختی آئروسل بر روی دریای عرب و شبیه‌قاره هند توسط کاسکائوتیس و همکاران (Kaskaoutis et al., ۲۰۱۸) نیز نشان دادند که داده‌های AOD برای مدلسازی آئروسل‌ها در سطح منطقه‌ای معیار مناسبی هستند.

مشاهدات ماهواره‌ای و مشاهدات زمینی متعددی از آئروسل‌ها بر روی شرق (Kaskaoutis et al., ۲۰۱۶)، غرب و جنوب‌غرب (Boloorani et al., ۲۰۱۴; Nabavi et al., ۲۰۱۶; Namdari et al., ۲۰۱۸)، شمال‌شرق (Alizadeh-Choopari et al., ۲۰۱۴; Arkian & Nicholson, ۲۰۱۷) و یا بصورت نقطه‌ای و پراکنده (Boloorani et al., ۲۰۱۴) بر روی پهنه ایران مستند شده است. به طوری که بلورانی و همکاران (Rezazadeh et al., ۲۰۱۷) مشخص کردند که بیشترین آئروسل غرب ایران از بیابان‌های عراق و سوریه منشاء گرفته‌اند که به نقش مستقیم گردوغبارها در افزایش آئروسل برمی‌گردد. بعلاوه، در مطالعاتی مشابه بر روی نشان دادند که غبارهای منتشر شده از مناطق خشک و نیمه خشک دشت‌های ساحلی مکران، دو بیابان عمده دشت کویر و دشت لوت، دشت سیستان و بستر خشک جازموریان موجب شده‌اند تا شرق و جنوب‌شرق ایران در معرض طوفان‌های گردوغباری رسوبی-نمکی قرار داشته باشند (Abdi Vishkaee et al., ۲۰۱۱; Goudie et al., ۲۰۱۸). چنین وضعیت مشابهی بر روی مناطق ساحلی خلیج‌فارس، بسترها خشک لسی-رسوبی خوزستان به چشم می‌خورد که تحت سلطه بادهای منطقه‌ای شمال به ویژه در فصل گرم است (Rezazadeh et al., ۲۰۱۲, ۲۰۱۳; Rashki et al., ۲۰۱۲, ۲۰۱۳). روی هم رفته، علاوه بر اینکه آئروسل‌های نمکی و بیابانی از مناطق ذکر شده انتشار می‌یابند، بلکه آنها خود تحت تاثیر بادهای غالب منطقه‌ای (شمال و لوار) ناشی از شرایط دینامیکی-جوی هستند که موجب بار بالای AOD بر روی مناطق می‌شوند (Fattahi et al., ۲۰۱۲; Zoljoodi et al., ۲۰۱۳; Hamidi et al., ۲۰۱۳). پس، شرایط ایجاد آئروسل‌ها بعلاوه بادهای غالب منطقه‌ای مختلف ایران را تحت تاثیر آئروسل‌های مختلفی قرار داده است که در برخی از مطالعات سعی داشته‌اند تا با استفاده از خوشبندی و تحلیل فصلی دید افقی (Rezaei et al., ۲۰۱۹; Alizaddeh Choobari et al., ۲۰۱۶; Baghbanan et al., ۲۰۱۶) و یا شناسایی نقطه‌ای رخدادها (Arkian & Nicholson, ۲۰۱۸; Namdari et al., ۲۰۱۸a, b) به ارائه مناطق حساس آئروسل‌های پهنه ایران بپردازنند. اما، به دلایلی همچون اثر توپوگرافی و میکروکلیمای یک منطقه، امکان طبقه‌بندی و تفکیک مناطق بر مبنای دید افقی را دچار نقض کرده است (Alizaddeh Choobari et al., ۲۰۱۶; Baghbanan et al., ۲۰۲۰). زیرا، شرایط فوق العاده خشک در داخل ایران با منابع بیرونی در خاورمیانه کشور را تحت تاثیر آئروسل‌ای با منابع مختلفی قرار خواهد داده است که با استفاده از تحلیل‌های نقطه‌ای و یا سنجش از دوری در مقیاس محلی و فصلی امکان‌ذیر نخواهد بود. بنابراین، بسته به تنوع و تعدد منابع تولید و رژیم‌های غالب جوی در انتشار آئروسل‌ها، به نظر می‌رسد امکان a, b

تفکیک کشور به مناطق همگن متفاوتی از آئروسل‌ها وجود دارد که مطالعات قبلی قادر به ارائه آن نبوده‌اند. بر همین اساس، استفاده از سنجش از دوری ماهواره‌ای در مقیاس مکانی بزرگتر علاوه بر اینکه کمک می‌کند تا درک بهتری از پهنه جغرافیایی پدیده نسبت به داده‌های نقطه‌ای را آشکار کند، بلکه لایه آئروسل در سطح‌های بالای وردسپهر را نیز پایش کرده و نمایش می‌دهد. بنابراین، در مطالعه حاضر، ناحیه‌بندی تکنیکی آئروسل‌ها با استفاده از متغیرهای سنجش از دوری در سطح ایران این امکان را می‌سازد تا پهنه جغرافیایی کشور به دور از تفکیک سلیقه‌ای محقق به زیر منطقه‌هایی حساس تحت تاثیر آئروسل تفکیک گردد. زیرا، با تبدیل یک پهنه جغرافیایی بزرگتر به چندین پهنه کوچکتر، امکان ساده‌سازی منطقه مورد مطالعه فراهم شده و ارائه آن در الگوهای مکانی کوچکتر قابل تفسیر است. بنابر موارد ذکر شده بالا، استفاده از بُردارهای ویژه‌ی در تکنیک‌های بُرداری تنها راه حلی است که می‌تواند از هدف و سوال تحقیق رونمایی کند و یک سیمای کلی با رویکرد جغرافیایی را بدون توجه به مطالعات ایستگاهی و مرز استانی ارائه نماید. سرانجام، پراکنش مکانی آئروسل‌ها در ساختارهای کوچکتر و ساده‌تر و در قالب زیر منطقه‌های مکانی جداگانه ترسیم شده و بسته به فرین‌های هر منطقه قابل تفسیر می‌گردد.

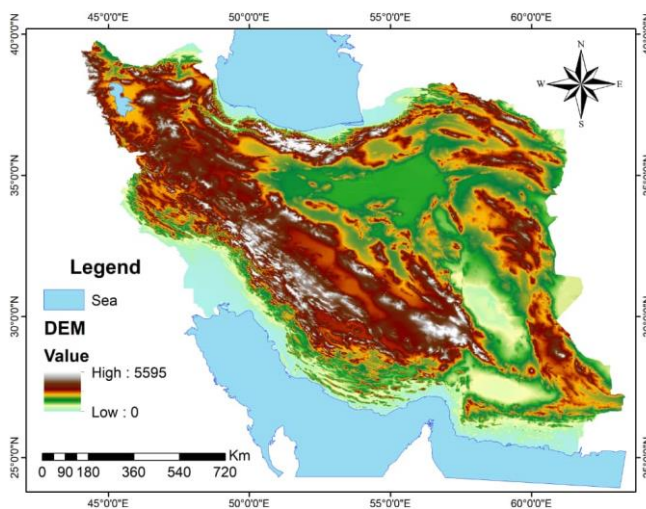
### داده‌ها و روش کار

مطالعه حاضر با استفاده از سری‌های زمانی عمق نوری آئروسل<sup>۱</sup> در ۵۵۰ نانومتر سنجنده MODIS (ماهواره‌های Terra و Aqua) که در مدل MACC با تفکیک مکانی ۱۴ کیلومتر مربع و مقیاس زمانی روزانه در طی دوره ۲۰۱۳-۲۰۰۳ شبیه-سازی شده است، سعی دارد تا با بکارگیری تکنیک‌های ریاضی نوین و کاربردی در اقلیم‌شناسی ماهواره‌ای، ساختار فضایی آئروسل‌های ایران (شکل ۱) را ساده کند؛ و با تبدیل تکنیکی پهنه اصلی به پهنه‌های منطقه‌ای کوچکتر از ساختارهای متفاوت با آئروسل بالا پرده بردارد (Benedetti et al., ۲۰۰۹; Morcrette et al., ۲۰۰۹; محمدپور و همکاران، ۱۳۹۹؛ محمدپور، ۱۳۹۸). در میان تکنیک‌های نوین، کاربردی‌ترین و مورد بحث‌ترین طبقه‌بندی بر پایه استفاده از آمار چند مختلفی و با هدف کاهش پر حجم داده‌ها، تفسیر و طبقه‌بندی آنها کاربردی است (Huth et al., ۱۹۹۳؛ Huth, ۱۹۹۶؛ Serra et al., ۱۹۹۶؛ White et al., ۱۹۹۳؛ Barry and Carleton, ۲۰۰۱؛ Yarnal et al., ۲۰۰۱ کاهش حجم داده‌ها، در حد امکان تغییرات موجود در داده‌ها و واریانس اولیه داده‌ها را حفظ و در دسته‌هایی مشخصی از هم مجزا می‌کند (Richman, ۱۹۸۶).

<sup>۱</sup> - Aerosol Optical Depth

<sup>۲</sup> - Principal Component Analysis

<sup>۳</sup> - Experimental Orthogonal Functions



شکل ۱. توپوگرافی منطقه مورد مطالعه

در تکنیک‌های بُرداری<sup>۱</sup>، تعیین مُد معیار (O, P, Q, R, S, T) مرحله‌ای پایه‌ای در جهت رسیدن به هدف و نتایج مطالعه است (Richman, ۱۹۸۱، ۱۹۸۶؛ White et al., ۱۹۹۱؛ Yarnal, ۱۹۹۳). بر این مبنای، رویکردی از آرایه S در مطالعه حاضر بکارگرفته شد که تلاش دارد تا زیرگروه‌های با همبستگی مشابه مکانی را بر اساس نقاط جدا و تفکیک نماید (Richman, ۱۹۸۶). به عبارت ریاضی، اگر ستون داده ورودی در ماتریس Z تحت عنوان متغیرهای ریاضی اعمال شده باشد و ماتریس Z<sub>n</sub> دارای n نقطه در سری‌های زمانی مورد مطالعه و m گام زمانی باشد؛ پس آرایه Z<sub>s</sub> دارای نظم و ترتیب ۳۶۵۴×۹۹۸۵ است. به عبارت ساده‌تر متغیرها در ستون و مشاهدات زمانی در ردیف‌های ماتریس قرار می‌گیرند. ماتریس مذکور ابتدا از نظر آماری (KMO<sup>۲</sup>) ارزیابی (برابر با ۰/۹۹ یا عالی) شده تا قابلیت تحلیل ماتریس بوسیله تکنیک‌های بُرداری بر پایه تحلیل مولفه‌های اصلی مورد سنجش قرار گیرد (Cerny and Kaiser, ۱۹۷۷). سپس، به ترتیب و با اعمال ماتریس کواریانس، تست غربالگری<sup>۳</sup> (Cattell, ۱۹۶۶) و قانون نورث (North et al., ۱۹۸۲)، تعداد بُردارهای ویژه مناسب برش داده شدند. همچنین، در راستای تعیین بهترین نمایش تئوریکی داده‌ها و روابط فیزیکی جاسازی شده در داخل ماتریس ورودی (Richman, ۱۹۹۷) از چرخش عمودی (Kaiser, ۱۹۵۸، ۱۹۵۹) برای تحلیل مکانی آسانتر مولفه‌های اصلی و اجتناب از واپستگی شکل قلمرو استفاده شد؛ که در عین حال، محدودیت تعامد و حالت عمودی بُردارهای ویژه را نگه می‌دارد (Richman, ۱۹۸۶؛ Yarnal, ۱۹۹۳). زیرا چرخش عمودی قلمرو کاملاً مستقل مکانی را نمایان و ساختار بارگویه‌ها را به ساده‌ترین شکل ممکن با به حداقل رساندن ضرایب واریانس همبستگی (بارگویه‌ها) بین هر مولفه چرخش داده شده با هر مولفه اولیه را نشان می‌دهد (Kaiser, ۱۹۵۸؛ Jolliffe et al., ۲۰۰۲). سپس، در مطالعه حاضر به ترتیب از دو شاخص صدک ۸۵ بُردارهای ویژه برای تفکیک مرز مناطق (مساحت هر منطقه برابر با ۱۹۳۵۰ کیلومتر مربع) و صدک ۹۵

<sup>۱</sup> - Eigentechnique<sup>۲</sup> - Kaiser-Meyer-Olkin test<sup>۳</sup> - Scree plot

بی‌هنگاری روزانه سیگنال‌های آئروسل هر منطقه برای نمایش الگوهای حدی مکانی در سطح منطقه‌ای استفاده شده است که در آن به ترتیب هم الگوهای نقشه‌ای مناطق شناسایی شده دارای مرزهای مشخصی بوده و با هم همپوشانی ندارند و هم میانگین روزهای فرین هر منطقه (صد ک ۹۵ درصد) در سطح منطقه‌ای به صورت توزیع مکانی مشخص شده است.

### شرح و تفسیر نتایج

روش تکنیک‌های چند متغیره بر پایه تحلیل مولفه‌های اصلی با کاهش تعداد متغیرها و با استفاده از نمودار غربالگری و مقدارهای ویژه، شش مولفه اصلی را شناسایی و تفکیک کرد. جدول (۱) درصد واریانس و واریانس تجمعی مولفه‌های انتخابی را پیش و پس از چرخش نشان می‌دهد. بر اساس جدول (۱) بیشترین میزان واریانس داده‌ها به مولفه اول تعلق دارد، اما فرایند چرخش موجب شده تا واریانس‌ها تقسیم و فیزیک بهتری از توزیع داده‌ها را به نمایش بگذارد. پس، چرخش عمودی داده‌ها موجب پراکنش بهتر متغیر در بین مولفه‌های اصلی و توزیع بهتر درصد واریانس داده‌ها در شناسایی مناطق شد.

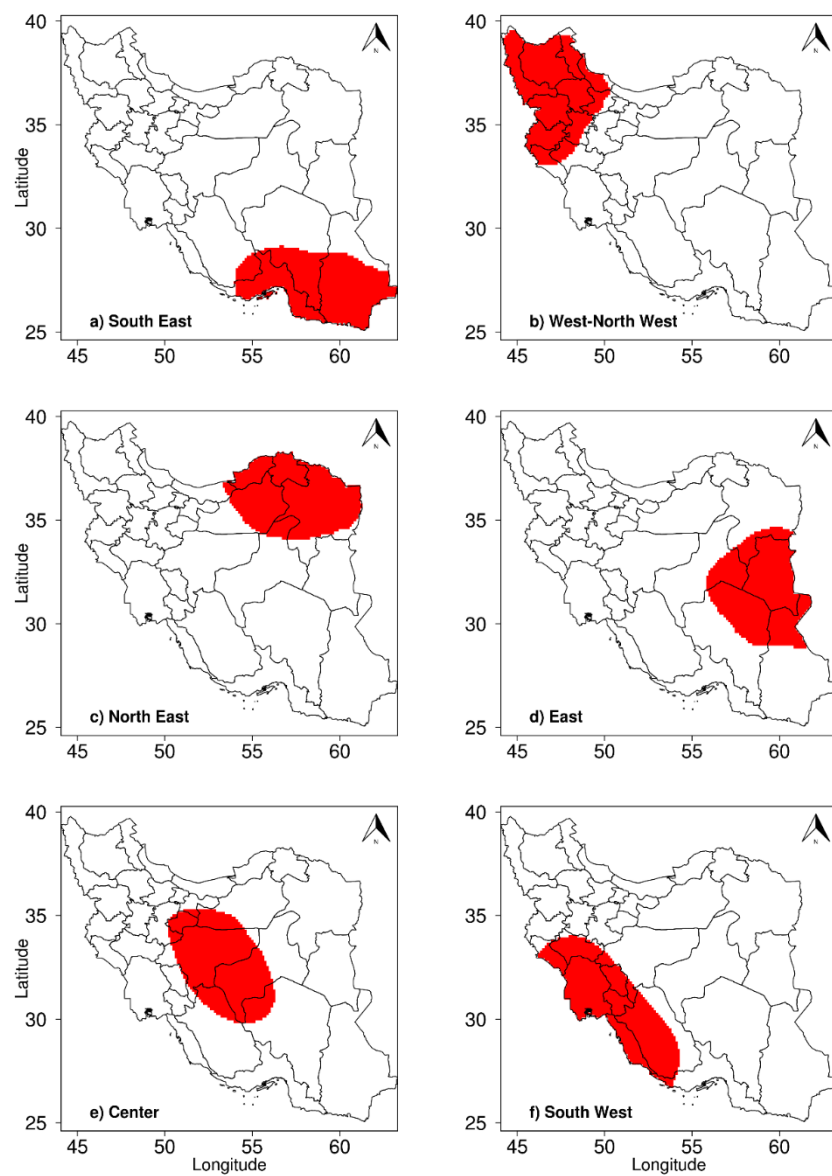
**جدول ۱. درصد کل واریانس‌های توضیح داده شده پیش و پس از چرخش به روش عمودی**

مولفه	واریانس تجمعی	چرخش واریماکس (درصد)		بدون چرخش (درصد)
		واریانس	واریانس تجمعی	
۱	۱۸/۹۱	۱۸/۹۱	۵۹/۱۵	۵۹/۱۵
۲	۳۷/۸۱	۱۸/۹۰	۶۹/۶۷	۱۰/۵۲
۳	۵۴/۷۵	۱۶/۹۴	۷۷/۳۹	۷/۷۲
۴	۶۷/۴۴	۱۲/۶۹	۸۱/۵۴	۴/۱۵
۵	۷۹/۲۶	۱۱/۸۲	۸۴/۷۱	۳/۱۷
۶	۸۷/۷۳	۸/۴۷	۸۷/۷۳	۳/۰۲

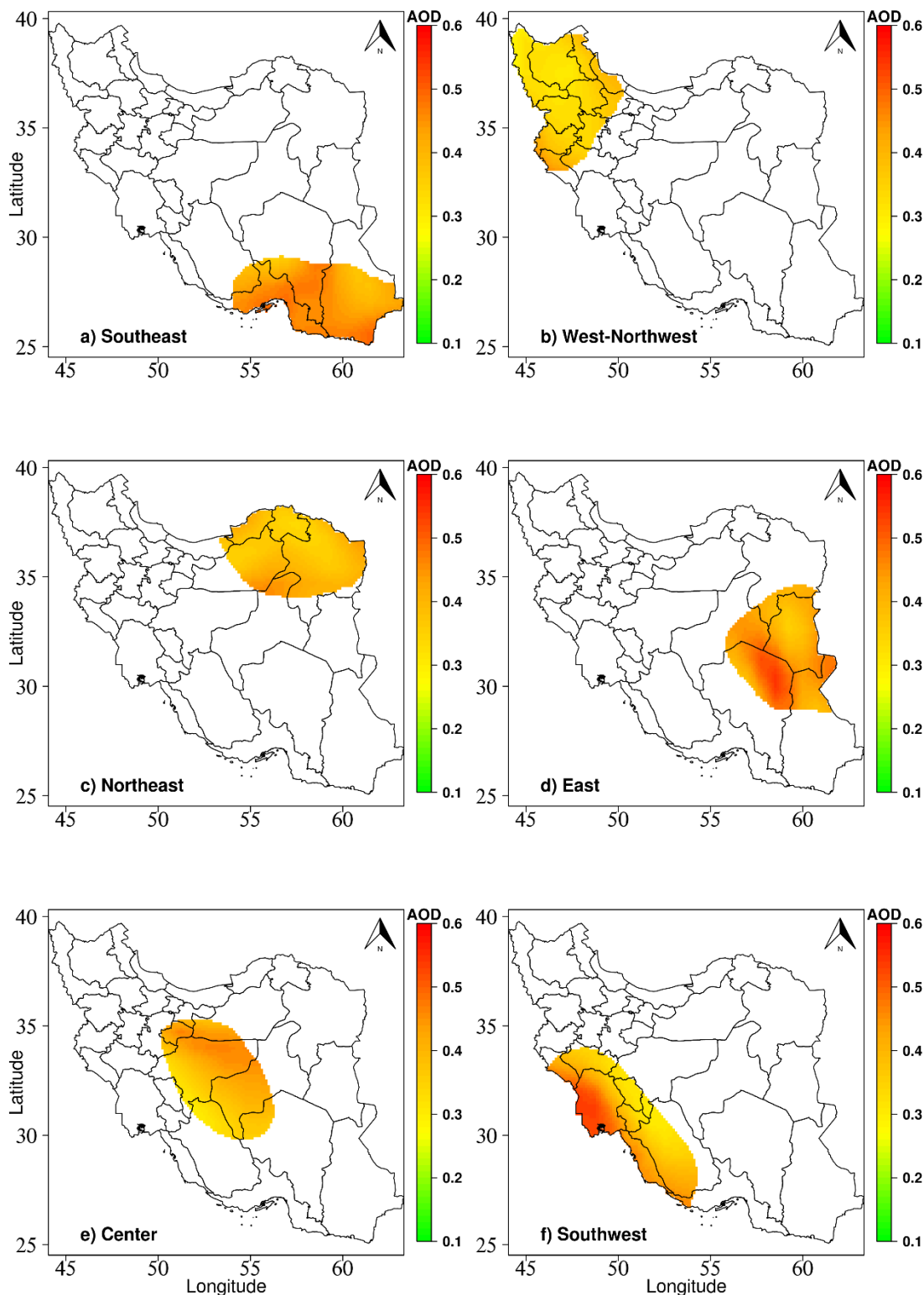
شکل ۲ نقشه پراکنش مکانی حداکثر بارگویه‌های مولفه‌های انتخابی را بر روی ایران را نشان می‌دهد که دارای الگوهای بصری و ساختاری ساده با تقسیم ایران به یک منطقه‌بندی منسجم و جامع است. اولین منطقه آلوده ایران همچنانکه در شکل ۲ (a) نشان داده شده است، متعلق به جنوبشرق کشور و شامل نواحی ساحلی و جنوبشرق ایران از جمله استان‌های جنوبشرق فارس، بخش بزرگی از هرمزگان، نیمه جنوبی کرمان و سیستان و بلوچستان است. در این منطقه بستری‌های خشک دریاچه‌ای -بیابانی قرار دارند؛ چنانکه میانگین بالای سالانه آئروسل بصورت نوار شمالی-جنوبی بر روی مناطق بیابانی-رسوبی را تایید می‌کند (شکل ۳(a). دومین منطقه شناسایی شده آئروسل (شکل ۳(b) بر روی منطقه غرب-شمالغرب کشور قرار گرفته است که از شمال استان ایلام شروع و کل استان‌های غربی و شمالغربی کشور تا غرب دریای خزر را دربر می‌گیرد.علاوه، وجود نمک‌های اطراف دریاچه ارومیه و مناطق شنزار شمالشرق دریاچه ارومیه در داخل منطقه می‌تواند از جمله عامل ثانویه و فزاینده تشکیل آئروسل منطقه مورد بحث باشد (شکل ۳(b). زیرا، علاوه بر گردوغبارهای معدنی، منطقه تحت تاثیر سایر آئروسل‌های منتشر شده از دیگر مراکز منابع طبیعی و صنعتی است که با احتمالی آئروسل را بالا می‌برد.

سومین منطقه در گوشه شمال‌شرقی کشور واقع شده است (شکل ۲ c) که تقریباً اتمسفر شش استان گلستان، خراسان شمالی، خراسان رضوی، بخش‌های از شرق سمنان، شمال خراسان جنوبی و شمال شرق یزد را دربر می‌گیرد. در مطالعه حاضر تفکیک مناطق مشخص کرد که دارای یک پهنه متفاوت‌تری از شرق و جنوب‌شرق کشور بوده و تحت تاثیر آثروسل با منبع متفاوت قرار دارد (در بخش فرین‌ها تشریح شده است). همچنین، مجاورت منابع ایجاد آثروسل‌های بیابانی همچون بیابان بزرگ قره‌قوم در شمال و دشت کویر (بیابان داخلی کویر) در جنوب‌غرب منطقه دلیل تمرکز آثروسل‌ها به ترتیب در نوار شمالی و بخش جنوبی منطقه شمال‌شرق است (شکل ۳ c). چهارمین منطقه شناسایی شده، در دست سیستان و بیابان لوت واقع شرق کشور است (شکل ۲ d) که جو استان‌های خراسان جنوبی، شرق یزد، بخش بزرگی از شرق کرمان و شمال سیستان و بلوچستان را در برگرفته است (شکل ۳ d) و احتمالاً همراه با افزایش فعالیت طوفان‌های گردوغبار در زمان شروع و تشدید باد ۱۲۰-روزه است.

از جمله مناطق دیگر شناسایی شده با بار آثروسل بالا، فلاٹ مرکزی ایران (شکل ۲ e) است که در شمال بوسیله رشته کوه البرز، در غرب توسط رشته کوه زاگرس و در شرق بوسیله کوهستان‌های شمالی-جنوبی ایران محصور شده است که مرکز ثقل آن بر روی منطقه خشک کویری قرار دارد. میزان غلظت بالای آثروسل بر روی استان‌های شمالی در منطقه‌ی مرکزی ایران (شکل ۳ e) نشان می‌دهد که علاوه بر آثروسل‌های بیابانی، آلودگی‌های صنعتی نیز از عوامل ثانویه افزایش و شدت آثروسل در این منطقه هستند. سرانجام، ششمین منطقه شناسایی شده منطقه جنوب‌غرب کشور است که در شکل ۲ (f) با غلظت بالای آثروسل در طول نوار ساحلی خلیج فارس مشاهده می‌شود (شکل ۳ f). این منطقه شامل بخش‌های جنوبی استان‌های ایلام و لرستان و استان‌های خوزستان، فارس، کهکیلویه و بویراحمد، چهارمحال و بختیاری، فارس، و بوشهر در طول دامنه‌های جنوب‌غرب زاگرس است که تحت تأثیر آثروسل‌های بیابانی منتشر شده از بیابان‌های عراق و عربستان قرار دارند (جزئیات آن در بخش توزیع مکانی فرین‌ها نشان داده شده است).



شکل ۲. نقشه تفکیک مُدهای روزانه بارگویه‌های چرخش داده شده آثروسی



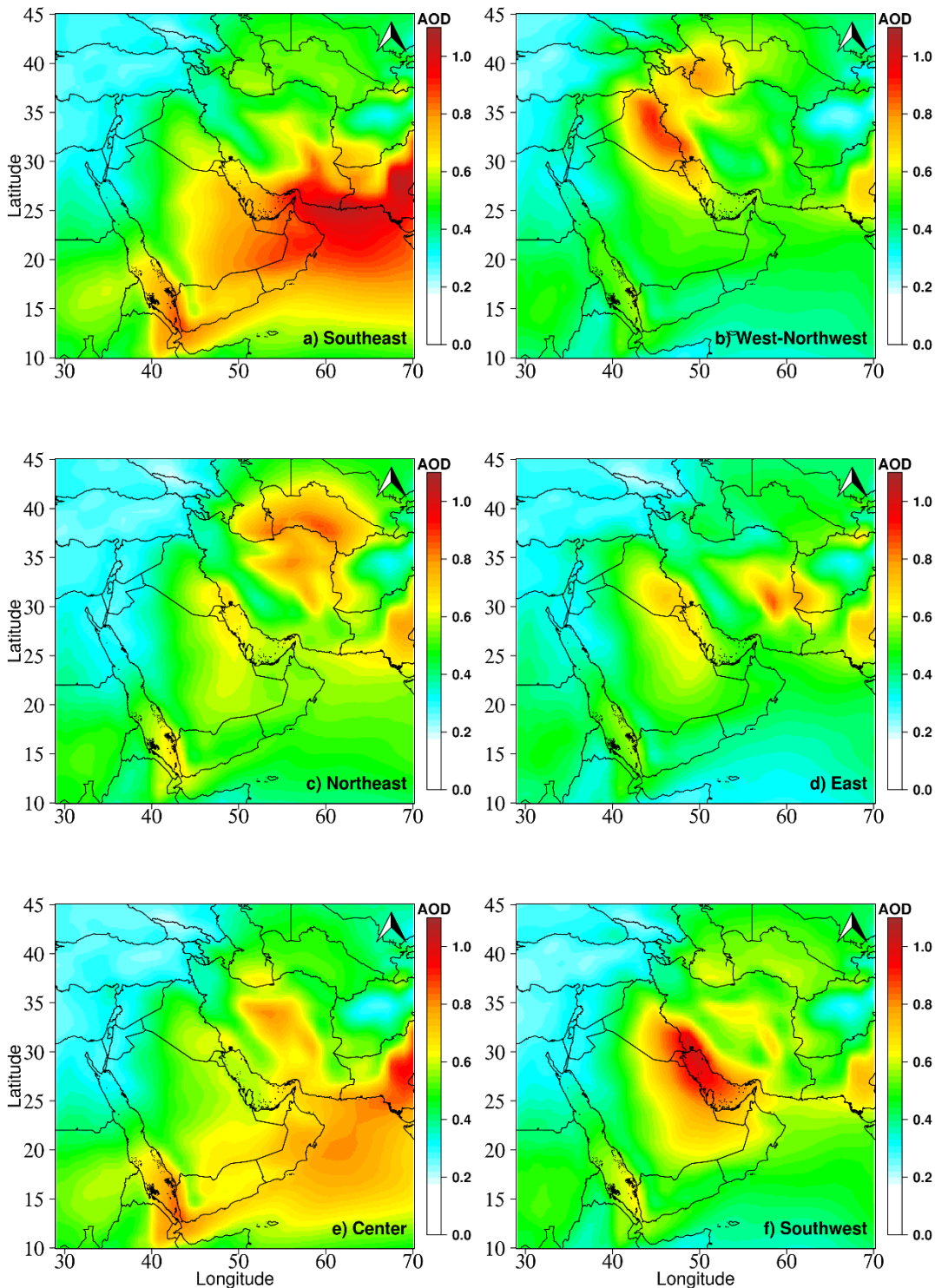
شکل ۳. نقشه میانگین تغییرات عمق نوری آتروسل (AOD) در مناطق شناسایی شده

مقدار گسترش و وسعت رخدادهای حدی آئروسل‌ها بر روی خاورمیانه در شکل ۴ ارائه شده است که بر مبنای ۹۵ درصد بی‌هنجری مثبت رخدادها در مناطق شناسایی شده (۱۸۳ روز برای هر منطقه) میانگین گرفته شده است. اولین منطقه شناسایی شده ایران واقع در جنوبشرق کشور نشان داد که این منطقه تحت تأثیر مقدار آئروسل منتشر شده از دریاهای مجاور (نمک دریا)، سرزمین‌های بیابانی شبه جزیره عربستان و بیابان‌ها و دشت‌های رسوبی داخلی است (شکل ۴a؛ زیرا، طغیان‌ها در نیمه شرقی کشور معمولاً تحت تاثیر بادهای غالب منطقه‌ای در فصل گرم (۲۰۱۹؛ Rashki et al., ۲۰۱۹) و فصل سرد (۱۳۹۸؛ Alizadeh Choobari et al., ۲۰۱۳؛ Kaskaoutis et al., ۲۰۱۹) تشدید و موجب انتقال آئروسل‌های معدنی به ویژه گردوبغار از دشت سیستان به جنوب و افزایش بار AOD در منطقه جنوبشرق و شمال دریای عرب شده است (۲۰۱۴؛ Kaskaoutis et al., ۲۰۱۴؛ Prijith et al., ۲۰۱۴؛ Jish Prakash et al., ۲۰۱۴). اما، در منطقه غرب-شمالغرب، میزان کل آئروسل‌ها به دلیل محدودیت منابع ایجاد و انتشار آئروسل نسبت به منطقه جنوبشرق از شدت کمتری برخوردار است (شکل ۴b). زیرا، تعدد منابع و بیابان‌های عراق-سوریه در انتشار و انتقال آئروسل‌ها به شمالغرب ایران کمتر از مناطق بیابانی تاثیرگذار بر روی جنوبشرق هستند. اما، با توجه مجاورت منطقه غرب-شمالغرب با بیابان‌های سوریه-عراق و حرکت انتقالی بادهای غربی همزمان با گسترش کمفسار خلیج فارس در شروع فصل گرم موجب شده است تا میزان تشدید آئروسل تحت تاثیر شدت و جهت باد شمال قرار گیرد (Fattahi et al., ۲۰۱۲؛ Hamidi et al., ۲۰۱۳؛ Rashki et al., ۲۰۱۹).

در نتیجه بار بالایی از آئروسل‌های بیابانی در طول نوار مرزی سیاسی بر منطقه شمالغرب تحمیل شده است. همچنانکه پیشتر اشاره شد، منابع انتشار و انتقال آئروسل‌ها بسته به مجاورت منطقه با مناطق منبع آئروسل در هر منطقه متفاوت است. به همین دلیل، مجاورت منطقه شمالشرق با بیابان قره‌قوم موجب افزایش بار آئروسل تا نوار ساحلی در شرق دریای خزر شده است (شکل ۴c) که با احتمالی تزریق نمک دریای خزر به جو منطقه نیز بر بار آئروسل‌ها افزوده است. این منطقه، تحت تاثیر جریان‌های شمالی و شمالشرقی پرسشار شرق دریای خزر و یا حرکت بادهای سطح زمین در نتیجه بادهای غربی حاکم بر روی منطقه موجب انتشار گردوبغار از بیابان قره‌قوم به شمالشرق و یا در طول مرز ایران و افغانستان شده است (۲۰۱۴؛ Alizadeh Choobari et al., ۲۰۱۳؛ Mohammadpour, ۲۰۱۴). بعلاوه، منطقه مورد بحث تحت تاثیر انتشار آئروسل و گردوبغار از منبع بیابانی دشت کویر نیز قرار دارد. در مقابل، با وجود همچواری دو منطقه شمالشرق و شرق ایران، رخدادهای حدی آئروسل در بخش شرق کشور (شکل ۴d) تحت تاثیر شرایط جوی حاکم بر روی بیابان‌های مارگو و ریگستان در افغانستان، بسترها خشک رسوبی-دریاچه‌ای مشترک ایران-افغانستان و بیابان لوت شکل گرفته است. پس، موقعیت ویژه جغرافیایی و اقلیمی موجب افزایش نصفالنهاری آئروسل و به ویژه گردوبغار بر روی منطقه شرق شده است (شکل ۴e)؛ به طوریکه نقش توپوگرافی پست منطقه و کاتالیزه شدن گردوبغار همراه با تسریع بادها از ارتفاعات شمالی و شمالشرق افغانستان بسوی منطقه قابل ملاحظه است (Alizadeh Choobari et al., ۲۰۱۴؛ Ginoux et al., ۲۰۱۲؛ Rashki et al., ۲۰۱۹؛ Mohammadpour, ۲۰۱۳) و پنهانه آئروسل شرق ایران را از دیگر مناطق شناسایی شده شمالی و جنوبی نیمه شرقی ایران جدا نموده است. در غرب منطقه شرق ایران، پراکندگی کل آئروسل‌ها در فلات مرکزی ایران (شکل ۴e) متأثر از منابع داخلی دشت کویر و به تبعیت از گرادیان شمالی و غربی جوی بر روی منطقه موجب شده تا میزان حداکثر AOD در جنوب دشت کویر مشاهده شود؛ شرایط مذکور به همراه استقرار شهرهای صنعتی در غرب و شمالغربی واقع در منطقه

مرکزی، مقدار آئروسل‌های آن را شدت بیشتری بخشیده است. این افزایش آئروسل با استقرار کمفسار حرارتی بر روی فلات مرکزی ایران در دوره گرم و همگرایی بادهای منشا گرفته از ارتفاعات شمالی و غربی در اثر اختلاف گردایان موجب تشدید بیشتر آئروسل‌های منطقه مرکزی بویژه بر روی استان‌های جنوبی منطقه مورد بحث شده است (محمدپور، ۱۳۹۸).

آئروسل‌های جنوبغرب (شکل ۴) متداولترین رخدادهای آئروسل بر روی کناره جنوبغربی و سواحل خلیج فارس هستند که در نتیجه مجاورت منطقه جنوبغرب ایران با بیابان‌های عمدۀ شبه جزیره عربستان، عراق-سوریه و دشت‌های رسوی مجاور (دجله و فرات) در کنار منابع داخلی (بسترهاي خشک خوزستان و سواحل خلیج فارس) حاصل شده است. بدین صورت که عوامل دینامیکی جوی همچون کمفسار حاکم بر روی خلیج فارس موجب شده تا در نتیجه همگرایی سیکلونی بر روی منطقه و جلگه خوزستان باز AOD بطور غمانگیزی افزایش یابد (محمدپور، ۱۳۹۸؛ Hamidi et al., ۲۰۱۳؛ Rashki et al., ۲۰۱۹). در مجموع، مطابقت فرین‌ها با منطقه‌بندی آئروسل‌ها در ایران در طی یک دهه نشان داد که الگوهای غالب آئروسل ایران تابع رخدادهای فرین در سطح منطقه‌ای است و بجز فلات مرکزی ایران (که تحت تاثیر منابع داخلی است)، توسعه آئروسل تابع رشد و گسترش طغیان آئروسل‌های بیابانی از مناطق منبع در سطح خاورمیانه است. همچنین، بررسی‌های فرین مرتبط با منابع انتشار مشخص کرد که بیشترین آئروسل‌های کشور را عمدتاً گردوغبارهای معدنی منتشر شده از مناطق بیابانی اطراف ایران تشکیل می‌دهد.



شکل ۴. نقشه توزیع مکانی فرین‌های آئروسل در مناطق شناسایی شده

### نتیجه‌گیری

مطالعه حاضر به منطقه‌بندی آثروسل با استفاده از تکنیک‌های چند متغیره بر روی پهنه جغرافیای ایران پرداخته تا بدون توجه به مرز استانی و یا ایستگاهی، پراکنش آثروسل در ساختارهای ساده‌تر و کوچکتر روی ایران را نشان دهد. نتایج نشان داد که الگوهای توزیع مکانی متغیر AOD در سطح شش منطقه‌ی مجزا جنوبشرق، غرب-شممالغرب، شمالشرق، مرکز و جنوبغرب ایران شناسایی و تفکیک شد. این مناطق شناسایی شده از مناطق با گردایان زیاد یا مناطق تحت تاثیر آثروسل هستند که تحت تاثیر طغیان‌های فرین آثروسل در سطح منطقه‌ای شکل می‌گیرند و بسته به دوری و نزدیکی هر منطقه به منابع انتشار آثروسل دارای پراکنش و عمق متفاوتی بر روی جو منطقه هستند. پس، موقعیت جغرافیایی هر منطقه موجب شده تا جو آن منطقه تحت تاثیر طوفان‌هایی باشد که از بیابان‌ها و مناطق منبع آلاینده اطراف هر منطقه نشات گرفته‌اند (Nabavi et al., ۲۰۱۶; Rashki et al., ۲۰۱۹). بنابراین، موضوع منطقه‌بندی آثروسل‌ها بر روی ایران نه تنها خلاً مطالعات قبلی را پر نموده است، بلکه با استخراج سیگنال‌ها حدی برای هر کدام از مناطق شناسایی شده نشان داد که منابع آلاینده داخلی و بیرونی نقش قابل ملاحظه‌ای در شکل گیری مناطق دارند. بدین صورت که آثروسل‌های مناطق شمالشرق، شرق و جنوبشرق به روشنی و به دور از انتخاب سلیقه‌ای محقق تفکیک مکانی شد و تفاوت مرزی این مناطق با توجه به توزیع واریانس داده‌های ماهواره‌ای نشان داده شد. همچنین تکنیک‌های چند متغیره آشکار کرد که مکانیسم شکل گیری آثروسل در منطقه فلات مرکزی مستقل است و تابع فرین‌های آثروسل‌ها در مرکز کشور است؛ مگر در مواردی که طغیان‌های آثروسل تحت تاثیر شرایط روباد حاکم بر جنوبغربی ایران و شرایط دینامیکی مربوط به آن در سطوح پایین جو موجب شده تا آلاینده‌های بیابانی و صنعتی در جلو فرود روی ایران از نیمه غربی و کوهستان‌های زاگرس عبور کرده و بار آثروسل منطقه مرکزی را افزایش دهند (Namdari et al., ۲۰۱۸). نتایج مطالعه حاضر در نتیجه تفکیک تکنیکی منطقه غرب-شممالغرب از جنوبغرب نیز نشان داد که تفاوت استان‌های شمالی و جنوبی از نظر منطقه‌بندی و چگونگی گسترش آثروسل به تفکیک مرز استانی ارتباط ندارد و پدیده دینامیکی همچون آثروسل باید با تکنیک مناسب مورد بررسی قرار گیرد تا به دور از نگاه انتخابی محقق، به مرزبندی بین مناطق بپردازد. بنابراین، مطالعه اخیر توانست مرز مناطق آثروسالی ایران را بدون توجه به مرز استانی و یا ایستگاهی، تفکیک کند و با توجه به ماهیت دینامیکی آثروسل و به دور از دستکاری و سلیقه محقق به بررسی آن بپردازد. در مجموع، تفاوت چشمگیر تحقیق حاضر در این مساله است که مطالعات پیشین بر اساس رخدادهای فرین موردي، تفکیک سلیقه‌ای مناطق، بررسی سنجش از دوری بصورت استانی و یا تحلیل خوش‌های دید افقی نقاط ایستگاهی به بررسی موضوع آثروسل‌ها پرداخته‌اند (Alizadeh Choobari et al., ۲۰۱۶; Rezaei et al., ۲۰۱۹; Baghbaban et al., ۲۰۲۰ a, b; Yousefi et al., ۲۰۲۰) که قادر به تحلیل و تفکیک مناطق نبوده‌اند. اما، مطالعه اخیر نه تنها توانست استان‌های شمالی و جنوبی نیمه غربی، نیمه شرقی و مرکز کشور را با رویکرد منطقه‌بندی جدا کند، بلکه با استفاده از فرین‌های آثروسل‌های هر منطقه به تحلیل پدیده پرداخته است. بنابراین، مناطق شناسایی شده تحت تاثیر آثروسل‌ها در جهات مختلف جغرافیایی ایران، علاوه بر اینکه بوسیله تحقیقات پیشین سینوپتیکی و سنجش از دوری بکارگرفته شده در نواحی مختلف ایران مورد تایید است (e.g. Akbary and Farahbakhshi, ۲۰۱۵; Fattahi et al., ۲۰۱۲; Hamidi et al., ۲۰۱۳; Akbari and Farahbakhshi, ۲۰۱۹؛ اکبری و فرخباخشی، ۱۳۹۷؛ آرامی و همکاران، ۱۴۰۰؛ راهی زهی و همکاران، ۱۴۰۰؛ حسینی و

رسمی، ۱۳۹۷)، بلکه توانسته است مرز مناطق تحت تاثیر آثروسل‌ها را به ساختارهای جغرافیایی کوچکتر ساده کند و پرائنس متغیر مورد مطالعه را با توجه به فرین‌های آثروسل‌ای که هر منطقه را تحت تاثیر قرار داده است، قابل تفسیر کند. در نهایت، استفاده از مشاهدات ماهواره‌ای نه تنها خلاصه داده‌های مشاهداتی سطح زمین را پر می‌کند، بلکه رویکردی به مراتب جغرافیایی‌تر در تحلیل مخاطرات محیطی است.

## منابع

- اکبری، مهری و فرحناز فرجبخشی. ۱۳۹۵. تحلیل سینوپتیکی و شبیه‌سازی حرکت طوفان‌های شدید گردوغبار (مطالعه مورد: جنوب غرب ایران)، فصلنامه‌ی علمی-پژوهشی فضای جغرافیایی، ۱۶(۵۵): ۲۷۳-۲۹۱.
- آرامی، سید عبدالحسین؛ مجید اونق، علی محمدیان بهبهانی، مهری اکبری و علیرضا زراسوندی. ۱۳۹۷. تحلیل مطالعات مخاطره گردوغبار در جنوب غرب ایران در دوره ۲۲ ساله (۱۹۹۶-۲۰۱۷)، مجله تحلیل فضایی مخاطرات محیطی، ۵(۱): ۳۹-۶۶.
- حسینی، سید اسد و دانا رستمی. ۱۳۹۷. واکاوی و ردیابی پدیده گردوغبار در جنوب و جنوب شرق ایران با استفاده از مدل HYSPLIT و اصول سنجش از دور. نشریه تحلیل فضایی مخاطرات محیطی، ۵(۳): ۱۰۳-۱۰۹.
- راهی زهی، حسین؛ محمود خسروی و محسن حمیدیان‌پور. ۱۴۰۰. تغییرات زمانی-فضایی غلظت آثروسل در استان سیستان و بلوچستان (۲۰۱۸-۲۰۰۰). ۸(۴).
- محمدپور، کاوه. ۱۳۹۸. اقلیم‌شناسی ماهواره‌ای و سینوپتیک پدیده گردوغبار در ایران، رساله دکتری، دانشکده علوم جغرافیایی، دانشگاه خوارزمی تهران.
- محمدپور، کاوه؛ محمد سلیقه، علی درویشی بلورانی و طیب رضیئی. ۱۳۹۹. واکاوی و مقایسه تولیدات ماهواره‌ای و شبیه‌سازی شده AOD در تحلیل گردوغبارهای غرب ایران (۲۰۰۰-۲۰۱۸)، تحلیل فضایی مخاطرات محیطی، ۷(۱): ۱۵-۳۲.
- Abdi Vishkaee, F., Flamant, C., Cuesta, J., Flamant, P. and H.R., Khalesifard, .۲۰۱۱. Multiplatform observations of dust vertical distribution during transport over northwest Iran in the summertime. *J. Geophys. Res.* ۱۱۶, D۰۲۰۶۵. <http://dx.doi.org/10.1029/2010JD014573>.
- Akbary, M., Farahbakhshi, M. ۲۰۱۰. Analyzing and Tracing of Dust Hazard in Recent Years in Kermanshah Province, *Int. J. Environ. Res.*, ۹(۲): ۶۸۲-۶۷۳.
- Alizadeh Choobari, O., Zawar-Reza, P. and A., Sturman, .۲۰۱۳. Low level jet intensification by mineral dust aerosols. *Ann. Geophysicae*: ۳۱ (۴), ۶۲۵-۶۳۲. <http://dx.doi.org/10.5194/angeo-31-625-2013>.
- Alizadeh-Choopari O., Ghafarian P., Owlad E. ۲۰۱۶. Temporal variations in the frequency and concentration of dust events over Iran based on surface observations. *International Journal of Climatology*. ۳۶(۱): PP. ۲۰۵۰-۲۰۶۲.
- Alizadeh-Choopari O., Ghafarian P., Owlad E. ۲۰۱۶. Temporal variations in the frequency and concentration of dust events over Iran based on surface observations. *International Journal of Climatology*. ۳۶(۱): PP. ۲۰۵۰-۲۰۶۲.
- Alizadeh-Choopari O., P. Zawar-Reza , A. Sturman .۲۰۱۴. The “wind of ۱۲۰ days” and dust storm activity over the Sistan Basin , *Atmospheric Research* ۱۴۳: ۳۲۸-۳۴۱.
- Arkian F., Nicholson S. E. ۲۰۱۸. Long-term variations of aerosol optical depth and aerosol radiative forcing over Iran based on satellite and AERONET data, *Environ Monit Assess* ۱۹۰(۱): PP. ۱-۱۵.
- Arkian F., Nicholson S. E., ۲۰۱۸. Long-term variations of aerosol optical depth and aerosol radiative forcing over Iran based on satellite and AERONET data, *Environ Monit Assess* ۱۹۰(۱) <https://doi.org/10.1007/s10661-017-6336-1>.

- Awad A., Mashat A.W., ۲۰۱۴. The Synoptic Patterns Associated with Spring Widespread Dusty Days in Central and Eastern Saudi Arabia, *Atmosphere*, ۵: ۸۸۹-۹۱۳; doi:10.3390/atmos5040889
- Baghbanan P., Ghavidel Y., Farajzadeh, M., ۲۰۲۰a. Spatial analysis of spring dust storms hazard in Iran. *Theor Appl Climatol.* ۱۳۹: ۱۴۴۷-۱۴۵۷. <https://doi.org/10.1007/s00704-019-03060-y>
- Baghbanan, P., Ghavidel, Y., Farajzadeh, M. ۲۰۲۰b. Temporal long-term variations in the occurrence of dust storm days in Iran. *Meteorol Atmos Phys.* ۱۳۲, ۸۸۵-۸۹۸ (۲۰۲۰). <https://doi.org/10.1007/s00703-020-0728-3>.
- Bangert, M., Nenes A., Vogel B., Vogel H., Barahona D., Karydis V. A., Kumar P., Kottmeier C., Blahak U., ۲۰۱۲. Saharan dust event impacts on cloud formation and radiation over Western Europe, *Atmos. Chem. Phys.*, 12: 4045-4063.
- Barry R.G., Carleton A.M. ۲۰۰۱. *Synoptic and Dynamic Climatology*. Routledge: London.
- Benedetti, A., Morcrette, J.-J., Boucher, O., Dethof, A., Engelen, R. J., Fisher, M., Flentjes, H., Huneeus, N., Jones, L., Kaiser, J. W., Kinne, S., Mangold, A., Razinger, M., Simmons, A. J., Suttie, M., and the GEMS-AER team, ۲۰۰۹. Aerosol analysis and forecast in the ECMWF Integrated Forecast System. Part II: Data assimilation, *J. Geophys. Res.*, 114, D13205 doi:10.1029/2008JD101110, ۲۰۰۹.
- Boloorani, A.D., Nabavi, S.O., Bahrami, H.A., Mirzapour, F., Kavosi, M., Abasi, E., Azizi, R., ۲۰۱۴. Investigation of dust storms entering Western Iran using remotely sensed data and synoptic analysis. *J. Environ. Health Sci. Eng.* 12(1): ۱۲۴. doi: 10.1186/s4201-014-0124-4. eCollection ۲۰۱۴.
- Calastrini, F., Guarneri, F., Becagli, S., Busillo, C., Chiari, M., Dayan, U., Lucarelli, F., Nava, S., Pasqui, M., Traversi, R., Udisti, R., Zipoli, G., ۲۰۱۲. Desert dust outbreaks over Mediterranean basin: a modeling, observational, and synoptic analysis approach. *Adv. Meteorol.*, ۲۴۶۸۷۴ <http://dx.doi.org/10.1100/2012/246874>.
- Cao H., Amirsolani F., Liu J., Na Zhou., ۲۰۱۰. Identification of dust storm source areas in West Asia using multiple environmental datasets, *Science of the Total Environment*, 402: 224-230. <http://dx.doi.org/10.1016/j.scitotenv.2014.09.020>
- Cattell RB. ۱۹۶۶. The scree test for the number of factors. *Multivariate Behavioral Research* 1: ۲۴۰-۲۷۶.
- Cerny C.A., Kaiser H.F., ۱۹۷۷. A study of a measure of sampling adequacy for factor-analytic correlation matrices. *Multivar Behav Res* 12(1): ۴۳-۴۷.
- Compagnucci Rosa H., Salles Maria A., ۱۹۹۷. Surface Pressure Patterns During The Year Over Southern South America, *International Journal of Climatology*, Vol. 17: ۶۳۰-۶۵۲.
- Das, S., Dey, S., Dash, S.K., Giuliani, G., Solmon, F., ۲۰۱۵. Dust aerosol feedback on the Indian summer monsoon: sensitivity to absorption property. *J. Geophys. Res.*, 120, 9642-9652. <http://dx.doi.org/10.1002/2010JD023089>.
- Fattahi E., Noohi K., Shiravand H., ۲۰۱۲. Study of dust storm synoptical patterns in southwest of Iran. *Desert* 14, ۴۹-۵۰.
- Figueras i Ventura, J. and Russchenberg, H. ۲۰۰۹. Towards a better understanding of the impact of anthropogenic aerosols in the hydrological cycle: IDRA, IRCTR drizzle radar, *Physics and Chemistry of the Earth, Parts A/B/C*, 34, ۸۸-۹۲, <https://doi.org/https://doi.org/10.1016/j.pce.2008.02.038>.
- Gaetani M, Pasqui M. ۲۰۱۲. Synoptic patterns associated with extreme dust events in the Mediterranean Basin. *Reg. Environ. Change* 14: 1847-1860, doi: 10.1007/s10113-012-0386-2.
- Gkikas A., Hatzianastassiou N., Mihalopoulos N., ۲۰۰۹. Aerosol events in the broader Mediterranean basin based on ۷-year (۲۰۰۰-۲۰۰۷) MODIS C005 data, *Ann. Geophys.*, 27, 3509-3522; [www.ann-geophys.net/27/3509/2009](http://www.ann-geophys.net/27/3509/2009).
- Goudie A., Middleton, N. (Eds.), ۲۰۰۷. *Desert Dust in the Global System*. Springer

- Gupta, P., Khan, M.N., da Silva, A., Patadia, F., ۲۰۱۳. MODIS aerosol optical depth observations over urban areas in Pakistan: Quantity and quality of the data for air quality monitoring. *Atmospheric Pollution Research* ۴: ۴۳–۵۲.
- Habib, G., Venkataraman, C., Chiapello, I., Ramachandran, S., Boucher, O., Reddy, M.S., ۲۰۰۷. Seasonal and interannual variability in absorbing aerosols over India derived from TOMS: Relationship to regional meteorology and emissions. *Atmospheric Environment* 40: ۱۹۰۹–۱۹۲۱.
- Hamidi, M., Kavianpour, M.R., Shao, Y., ۲۰۱۳. Synoptic analysis of dust storms in the Middle East. *Asia-Pacific J. Atmos. Sci.* 49: ۲۷۹–۲۸۶.
- Hamidi, M., Kavianpour, M.R., Shao, Y., ۲۰۱۷. A quantitative evaluation of the ۳–۸ July ۲۰۰۹ Shamal dust storm. *Aeolian Res.* ۲۴: ۱۳۳–۱۴۳.
- Huth R., ۱۹۹۶. An intercomparison of computer-assisted circulation classification methods. *International Journal of Climatology* 16: ۸۹۳–۹۲۲.
- Huth R., Nemesova I., Klimperov 'a N., ۱۹۹۳. Weather categorization based on the average linkage clustering technique: an application to European mid-latitudes. *International Journal of Climatology*, ۱۳: ۸۱۷–۸۳۰.
- IPCC: The Core Writing Team Pachauri, R. K. and Meyer, L. A.: Climate Change .۲۰۱۴. Synthesis Report. *Contribution of Working Groups I, II and III to the Fifth Assessment Report of the Intergovernmental Panel on Climate Change*, IPCC, Geneva, Switzerland, <http://www.ipcc.ch/report/ar5/syr/>, ۲۰۱۴.
- Islam M.N., Almazroui M., ۲۰۱۲. Direct effects and feedback of desert dust on the climate of the Arabian Peninsula during the wet season: a regional climate model study, *Clim Dyn.* ۴۹: ۲۲۳۹–۲۲۵۰; DOI ۱۰.1007/s0038۲-۰۱۲-۱۲۹۳-۴
- Jin, Q., Jiangfeng, W., Bing, P., Zong-Liang, Y., Prasad Parajuli, S., ۲۰۱۸. High Summertime Aerosol Loadings Over the Arabian Sea and Their Transport Pathways, *IGR Atmospheres*, 123, 18: ۱۰, ۵۶۸-۱۰, ۵۹۰.
- Jish Prakash P., Stenchikov G., Kalenderski S., Osipov S., Bangalath H., ۲۰۱۰. The impact of dust storms on the Arabian Peninsula and the Red Sea. *Atmos. Chem. Phys.* 10 (1), ۱۹۹–۲۲۲. <http://dx.doi.org/10.5194/acp-10-199-2010>.
- Jolliffe IT, Uddin M, Vines SK. ۲۰۰۲. Simplified EOFs-three alternatives to rotation. *Climate Research* 24: ۲۷۱–۲۷۹.
- Kaiser H. F., ۱۹۵۸. 'The Varimax criterion for analytic rotation in factor analysis', *Psychometrika*, ۲۳, ۱۸۷.
- Kaiser H. F., ۱۹۵۹. 'Computer program for Varimax rotation in factor analysis', *Educ. Psych. Meas.*, 19, ۴۱۳.
- Kaskaoutis D. G. E. E. Houssos, D. Goto, A. Bartzokas, P. T. Nastos, P. R. Sinha, S. K. Kharol, P. G. Kosmopoulos, R. P. Singh, T. Takemura .۲۰۱۴a. Synoptic weather conditions and aerosol episodes over Indo-Gangetic Plains, India, *Clim Dyn Journal*, DOI ۱۰.1007/s0038۲-۰۱۴-۲۰۰۵-۲
- Kaskaoutis D. G., Francis D. , Rashki A., Chaboureau J.P., Umesh D.C., ۲۰۱۹. Atmospheric Dynamics from Synoptic to Local Scale During an Intense Frontal Dust Storm over the Sistan Basin in Winter ۲۰۱۹, *Geosciences*, 9, ۴۰۳; [www.mdpi.com/journal/geosciences](http://www.mdpi.com/journal/geosciences), doi:10.3390/geosciences9100403.
- Kaskaoutis D. G., Rashki A., Houssos E. E., Mofidi A., Goto D., Bartzokas A., Francois P., Legrand M., ۲۰۱۵. Meteorological aspects associated with dust storms in the Sistan region, southeastern Iran, *Climate Dynamics*, Volume 46, Issue 1–2, pp 407–424, DOI 10.1007/s0038۲-۰۱۴-۲۲۰۸-۳. <http://dx.doi.org/10.1007/s0038۲-۰۱۴-۲۲۰۸-۳>.
- Kaskaoutis D.G. .A.Rashki E.E.Houssos D.Goto P.T.Nastos .۲۰۱۴b. Extremely high aerosol loading over Arabian Sea during June ۲۰۰۸: The specific role of the atmospheric dynamics and Sistan dust storms, *Atmospheric Environment*, Volume 94, September ۲۰۱۴, ۳۷۴–۳۸۴.
- Kaskaoutis D.G., Houssos E.E., Minvielle F., Rashki A., Chiapello I., Dumka U.C., Legrand, M., ۲۰۱۸. Long-term variability and trends in the Caspian Sea – Hindu Kush Index: influence on atmospheric circulation patterns, temperature and rainfall over the Middle East and southwest Asia. *Glob. Planet. Change* 169, ۱۶–۳۳.

- Kaskaoutis, D.G., Houssos, E.E., Rashki, A., Francois, P., Legrand, M., Goto, D., Bartzokas A. , Kambezidis H.D., Takemura T., ۲۰۱۶. The Caspian Sea – Hindu Kush Index (CasHKI): a regulatory factor for dust activity over southwest Asia. *Glob. Planet. Change* ۱۳۷: ۱۰–۲۳.
- Klingmüller K., Andrea P., Swen M., Georgiy L. Stenchikov, Jos Lelieveld., ۲۰۱۶. Aerosol optical depth trend over the Middle East, *Atmos. Chem. Phys.*, ۱۶, ۵۰۶۳–۵۰۷۳. [www.atmos-chem-phys.net/16/5063/2016/](http://www.atmos-chem-phys.net/16/5063/2016/) doi:10.5194/acp-16-5063-2016.
- Lau, K.-M., Kim, K.-M., ۲۰۰۷. Observational relationships between aerosol and Asian monsoon rainfall, and circulation, *Geophys. Res. Lett.* ۳۴, L۲۱۸۱. <http://dx.doi.org/10.1029/2006GL027546>.
- Liu, X.; Gu, J.; Li, Y.; Cheng, Y.; Qu, Y.; Han, T.; Wang, J.; Tian, H.; Chen, J.; Zhang, Y. ۲۰۱۳. Increase of aerosol scattering by hygroscopic growth: Observation, modeling, and implications on visibility. *Atmos. Res.*, ۱۳۲&۱۳۳: ۹۱–۱۰۱.
- Lohmann, U., Feichter, J., ۲۰۰۵. Global indirect aerosol effects: a review. *Atmospheric Chemistry and Physics* ۵: ۷۱۵–۷۳۷.
- Mahowald, N.M.; Engelstaedter, S.; Luo, C.; Sealy, A.; Artaxo, P.; Benitez-Nelson, C.; Bonnet, S.; Chen, Y.; Chuang, P.Y.; Cohen, D.D.; et al. ۲۰۰۹. Atmospheric iron deposition: Global distribution, variability, and human perturbations. *Ann. Rev. Mar. Sci.*, ۱: ۲۴۵–۲۷۸.
- Morcrette J.-J., Boucher O., Jones L., Salmond D., Bechtold P., Beljaars A., Benedetti A., Bonet A., Kaiser J. W., Razinger M., Schulz M., Serrar S., Simmons A. J., Sofiev M., Sutcliffe M., Tompkins A. M., Untch, A., ۲۰۰۹. Aerosol analysis and forecast in the ECMWF integrated forecast system. Part I: Forward modelling, *J. Geophys. Res.*, 114, D۰۶۲۰۶ doi:10.1029/2008JD111230.
- Nabavi S. O., Haimberger L., Samimi C., ۲۰۱۷. Sensitivity of WRF-chem predictions to dust source function specification in West Asia, *Aeolian Research* ۴: ۱۱۰–۱۳۱; <http://dx.doi.org/10.1016/j.aeolia.2016.12.009>.
- Nabavi S.O., Haimberger L., Samimi C., ۲۰۱۶. Climatology of dust distribution over West Asia from homogenized remote sensing data, *Aeolian Research* ۲۱: ۹۳–۱۰۷. <http://dx.doi.org/10.1016/j.aeolia.2016.04.002>
- Namdari S., Karimi N., Sorooshian A., Mohammadie Gh.H., Sehatkashani S., ۲۰۱۸. Impacts of climate and synoptic fluctuations on dust storm activity over the Middle East, *Atmospheric Environment* ۱۷۳: ۲۶۰–۲۷۶
- North G.R., Bell T.L., Cahalan R.F., Moeng F.J. ۱۹۸۲. Sampling errors in the estimation of empirical orthogonal functions. *Monthly Weather Review* 110: ۷۹۹–۸۰۶.
- Prijith S.S., Rajeev K., Thampi B.V., Nair S.K., Mohan M., ۲۰۱۳. Multi-year observations of the spatial and vertical distribution of aerosols and the genesis of abnormal variations in aerosol loading over the Arabian Sea during Asian summer monsoon season. *J. Atmos. Solar-Terr. Phys.* 100–106: 142–151.
- Prospero J., Ginoux M., Torres P., Nicholson S. E., Gill T. E., ۲۰۰۲. Environmental characterization of global sources of atmospheric soil dust identified with the NIMBUS V total ozone mapping spectrometer (TOMS) absorbing aerosol product, *Reviews of Geophysics*, 40: 2–31.
- Rashki A., Kaskaoutis D.G., Mofidi A., Minvielle F., Chiapello I., Legrand M., Dumka U.C., Francois P., ۲۰۱۹. Effects of Monsoon, Shamal and Levar winds on dust accumulation over the Arabian Sea during summer – The July ۲۰۱۶ case, *Aeolian Research* 36: ۲۷–۴۴; <https://doi.org/10.1016/j.aeolia.2018.11.002>
- Rashki A.,Kaskaoutis D. G., Francois P. , Kosmopoulos P.G., Legrand M., ۲۰۱۰. Dust – storm dynamics over Sistan Region, Iran: seasonality, Transport, characteristics and affected areas, *Aeolian research* 16: ۳۰–۴۸.
- Rashki, A., Arjmand, M., Kaskaoutis, D.G. ۲۰۱۷, Assessment of dust activity and dust-plume pathways over Jazmurian Basin, southeast Iran. *Aeol. Res.* ۴4: ۱۴۰–۱۶۰.
- Rashki, A., Kaskaoutis, D.G., Rautenbach, C.J.W., Eriksson, P.G., Qiang, M., Gupta, P., ۲۰۱۲. Dust storms and their horizontal dust loading in the Sistan region. *Iran. Aeolian Res.* 5: ۵۱–۶۲.
- Rezaei, M., Farajzadeh, M., Mielonenb, T. Ghavidel, Y., ۲۰۱۹. Analysis of spatio-temporal dust aerosol frequency over Iran based on satellite data, *Atmospheric Pollution Research*, 10 (2): ۵۰۸–۵۱۹.

- Rezazadeh M., Irannejad P., Shao Y., ۲۰۱۳. Climatology of the Middle East dust events. *Aeol. Res.* ۱۰: ۱۰۲–۱۰۹.
- Richman M.B., ۱۹۸۱. Obliquely rotated principal components: an improved meteorological map typing technique? *Journal of Applied Meteorology* ۲۰: ۱۱۴۵–۱۱۵۹.
- Richman M.B., ۱۹۸۶. Review article. Rotation of principal components. *Journal of Climatology* ۶: ۲۹۳–۳۳۰.
- Sarna, K. and Russchenberg, H. W. J. ۲۰۱۷. Monitoring aerosol–cloud interactions at the CESAR Observatory in the Netherlands, *Atmospheric Measurement Techniques*, ۱۰: ۱۹۸۷–۱۹۹۷, <https://doi.org/10.5194/amt-10-1987-2017>.
- Serra C., Fernandez Mills G., Periago M.C., Lana M., ۱۹۹۶. Winter and autumn daily precipitation patterns in Catalonia, Spain. *Theoretical and Applied Climatology* ۵۴: ۱۷۵–۱۸۶
- White D., Richman M., Yarnal B., ۱۹۹۱. Climate regionalization and rotation of principal components. *International Journal of Climatology* ۱۱: ۱–۲۰.
- Wong Sun, Andrev E. Dessler , Natalie M. Mahowald Ping Yang and Qian Feng .۲۰۰۹. Maintenance of Lower Tropospheric Temperature Inversion in the Saharan Air Layer by Dust and Dry Anomaly, *American Meteorological Society*, Volume ۲۲: ۵۱۴۹–۵۱۶۲, DOI: 10.1175/2009JCLI2847.1
- Wong, S., and A. E. Dessler .۲۰۰۵. Suppression of deep convection over the tropical North Atlantic by the Saharan air layer, *Geophys. Res. Lett.*, ۳۲, L۰۹۸۰, doi:10.1029/2004GL022290.
- Yarnal B. ۱۹۹۳. *Synoptic Climatology in Environmental Analysis*. Belhaven Press: London.
- Yarnal B., Comrie A.C., Frakes B., Brown D.P., ۲۰۰۱. Developments and prospects in synoptic climatology. *International Journal of Climatology* ۲۱: ۱۹۲۳–۱۹۵۰.
- Yousefi, R., Wang, F., Ge, Q., Shaheen, A., ۲۰۲۰. Long-term aerosol optical depth trend over Iran and identification of dominant aerosol types, *Science of the Total Environment* 722 (2020) 137907; <https://doi.org/10.1016/j.scitotenv.2020.137907>.
- Zoljoodi M., Didevarasl A., Ranjbar Saadatabadi A., ۲۰۱۳. Dust Events in the Western Parts of Iran and the Relationship with Drought Expansion over the Dust-Source Areas in Iraq and Syria, *Atmospheric and Climate Sciences*, ۳: ۳۲۱–۳۳۶ <http://dx.doi.org/10.4236/acs.2013.33034>.